

# 基模热稳腔的简单设计计算方法

张 光 寅

(南开大学物理系)

**提要:** 利用基模热稳腔的一般解的简单图解关系, 热扰透镜处的 $\pi$ 圆与腔的一个 $R_1$ 镜的 $\sigma_1$ 圆相切, 提出了这种腔的一个十分简单的设计计算方法。同时作为例子, 介绍了四种类型基模热稳腔的设计与计算。

## A simple design and calculation method of the $TEM_{00}$ -thermo-insensitive resonator

Zhang Guangyin

(Department of Physics, Nankai University)

**Abstract:** Using the simple diagrammatic relationship of general solution of the  $TEM_{00}$ -thermo-insensitive resonator, the circle  $\pi$  in the place of thermo-perturbation lens is tangent to circle  $\sigma_1$  of the mirror  $R_1$  of the resonator. A very simple design and calculation method of such resonator has been proposed. And as an example, the design and calculation of four types of the  $TEM_{00}$ -thermo-insensitive resonators have been presented.

在 [1] 中我们曾获得了基模热稳腔的一般解。它可以表达为一些特征传播圆的简单图解关系: 即若谐振腔的反射镜之一的  $R_1$  镜的  $\sigma_1$  圆与腔内热扰透镜  $f$  处的  $\pi$  圆相切; 而由  $\pi$  圆所决定的热扰透镜处的基模光斑尺寸又满足自孔径选基模的要求, 则这样的谐振腔即为基模热稳腔。从它的另一  $R_2$  镜一端可获得稳定的基模辐射输出。根据这个一般解的简单图解关系, 我们容易制定出基模热稳腔的十分简单的设计计算方法。本文就以基模热稳腔的四种较好的构型为例具体介绍这种腔的设计计算方法。

I 型腔由一凹面镜  $R_1$ , 一平面镜  $R_2$  和一热扰透镜 (即激光棒) 所组成。这里  $R_1$  镜的  $\sigma_1$  圆与热扰透镜  $f$  处的  $\pi$  圆相切于  $F_1$ 。因而只要按自孔径选基模的要求预先选定了这个  $\pi$  圆的直径, 则这种腔结构就完全符合基模热稳腔的一般解的要求。切点  $F_1$  决定了高斯光束在热扰透镜  $f$  左方的一个侧焦点。 $R_2$  镜的  $\sigma_2$  圆与  $f$  处的  $\pi$  圆的相交点  $F_2$  决定了高斯光束在热扰透镜  $f$  右方的另一侧焦点。通过侧焦点  $F_1$ , 同时切光轴  $z$  于  $R_1$  镜处的  $\pi_1$  圆为反映  $R_1$  镜处基模光斑尺寸的一个传播圆。通过侧焦点  $F_2$ , 同时切光轴  $z$  于  $R_2$  镜处的  $\pi_2$  圆为反映  $R_2$  镜处基模光斑尺寸的一个传播圆。通过侧焦点  $F_1$ , 同时过热扰透镜  $f$  处的  $\sigma_{1f}$  圆为反映  $f$  左侧高斯光束

图 1 示出 I 型基模热稳腔的图解关系。

收稿日期: 1980 年 8 月 19 日。

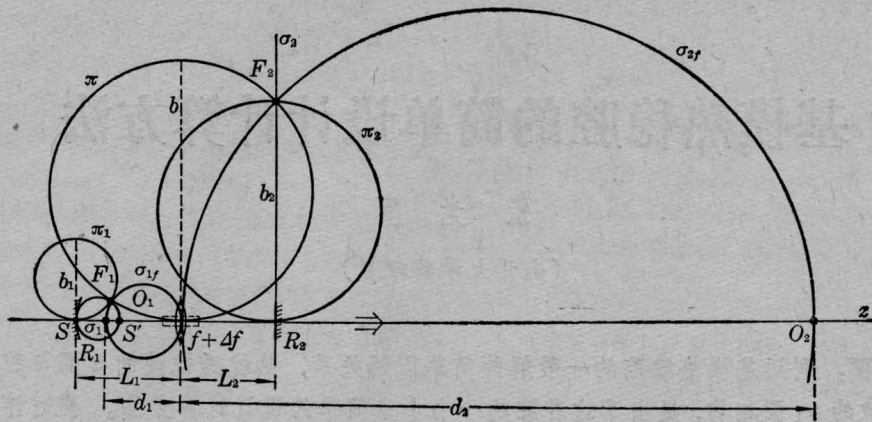


图1 I型基模热稳腔的图解关系

波面曲率半径的一个传播圆。通过侧焦点  $F_2$ ，同时过热扰透镜  $f$  处的  $\sigma_{2f}$  圆为反映  $f$  右侧高斯光束波面曲率半径的一个传播圆。根据  $\pi$  圆与  $\sigma_1$  圆相切这一特殊关系，我们容易确定  $\pi$  圆、 $\pi_1$  圆和  $\sigma_{1f}$  圆与  $\sigma_1$  圆之间的简单正交关系。再结合考虑自孔径选基模的要求，我们不难确定 I 型腔的一组设计计算公式如下：

$$b = \frac{\phi^2}{4\lambda}; \quad (1)$$

$$L_1 = s; \quad (2)$$

$$b = \frac{2ss'}{s-s'}; \quad (3)$$

$$R_1 = s-s'; \quad (4)$$

$$d_1 = \frac{2ss'}{s+s'}; \quad (5)$$

$$b_1 = (s-s') \frac{s}{s'}; \quad (6)$$

$$bb_1 = 2s^2 = 2L_1^2; \quad (7)$$

$$\frac{1}{d_1} + \frac{1}{d_2} = \frac{1}{f}; \quad (8)$$

$$L_2 = \frac{d_2 b^2}{d_2^2 + b^2}; \quad (9)$$

$$b_2 = \frac{d_2^2 b}{d_2^2 + b^2}, \quad (10)$$

式中  $b$ 、 $b_1$ 、 $b_2$ 、 $d_1$ 、 $d_2$  分别为  $\pi$ 、 $\pi_1$ 、 $\pi_2$ 、 $\sigma_{1f}$  和  $\sigma_{2f}$  圆的直径； $\phi$  为激光棒的有效孔径； $\lambda$  为激光波长； $f$  为热扰透镜的平均焦距； $s$  和  $s'$  分别为  $\sigma_1$  圆与光轴的两个交点离热扰透

镜  $f$  的距离； $R_1$  为  $R_1$  镜的曲率半径； $L_1$  和  $L_2$  分别为  $R_1$  镜和  $R_2$  镜离热扰透镜  $f$  的距离。

(1) 式决定于自孔径选基模的要求；(3)、(5)、(6) 式分别决定于  $\pi$  圆、 $\sigma_{1f}$  圆、 $\pi_1$  圆与  $\sigma_1$  圆之间的正交关系；(7) 式导自 (3)、(6) 两式的关系；(8) 式决定于透镜  $f$  两侧波面曲率中心  $O_1$  与  $O_2$  对于透镜  $f$  的物象关系；(9)、(10) 两式决定于  $\pi$  圆与  $\sigma_{2f}$  圆的正交关系。

这些公式以十分简单的形式给出腔内主要模特性与这种腔结构参数之间的联系。利用这些公式，我们容易对 I 型腔进行数值计算。设激光棒的有效孔径为  $\phi = 5.05$  毫米，取  $\lambda = 1.06$  微米，由 (1) 式可得  $b = 6.0$  米。继取  $L_1 = 100$  厘米，由 (2) 式可得  $s = 100$  厘米；由 (3) 式可得  $s' = 75$  厘米。进而由 (4) 式可得  $R_1 = 25$  厘米；由 (5) 式可得  $d_1 = 85.7$  厘米；由 (6) 式可得  $b_1 = 0.33$  米。再取  $f = 85.5$  厘米，由 (8) 式可得  $d_2 = 367$  米，进而由 (9) 式可得  $L_2 = 9.8$  厘米；由 (10) 式可得  $b_2 \approx 6.0$  米。这样，我们就十分容易地计算得到 I 型腔结构的全部数据。

应当指出，这种腔结构的最后三步的计算还可以大大地简化。事实上，若取  $f \approx d_1$ ，这时  $\sigma_{2f}$  圆的直径趋向无限大； $b_2 \approx b$ ； $L_2$  可取近于零的任意小值。因而，对于 I 型腔实

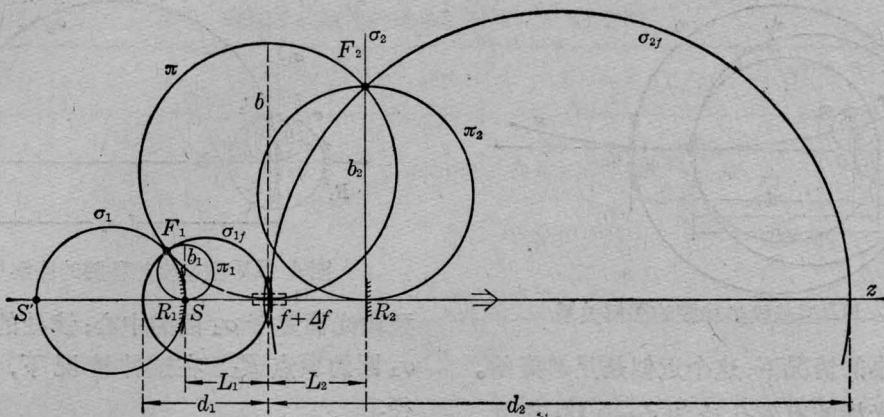


图2 II型基模热稳腔的图解关系

实际上只需利用(1)~(6)式进行计算即可。

(7)式在我们上面的计算中没有用到。然而这一关系式有其特殊用处。在这种腔结构中一般地  $b$  值较大,  $b_1$  值较小。这就意味着,  $R_1$  镜将要经受较大的激光功率密度。利用这一关系式,可使我们在给定  $L_1$  与  $\phi$  的条件下,容易预先估算  $R_1$  镜上的基模光斑尺寸及其可能经受的激光功率密度。这在设计这种腔结构时是必须予以考虑的。

## 二

图2中示出II型基模热稳腔的图解关系。II型腔与I型腔的不同之处在于以一凸面镜  $R_1$  代替I型腔中的凹面镜  $R_1$ ,但仍保持  $R_1$  镜的  $\sigma_1$  圆与热扰透镜  $f$  处的  $\pi$  圆的相切关系。若我们仍以  $s$  表示  $R_1$  镜的位置,  $s'$  表示其曲率中心的位置,则只需以如下两式:

$$b = \frac{2ss'}{s' - s}; \quad (11)$$

$$b_1 = (s' - s) \frac{s}{s'} \quad (12)$$

分别代替(3)、(6)两式,就可以利用I型腔的其它全部计算公式对II型腔进行设计计算。

设激光棒的有效孔径为  $\phi = 5.05$  毫米,取  $\lambda = 1.06$  微米,由(1)式可得  $b = 6.0$  米。

继取  $L_1 = 100$  厘米,由(2)式可得  $s = 100$  厘米;由(11)式可得  $s' = 150$  厘米。进而由(4)式可得  $R_1 = -50$  厘米;由(5)式可得  $d_1 = 120$  厘米;由(12)式可得  $b_1 = 0.33$  米。再取  $f = 119.6$  厘米,由(8)式可得  $d_2 = 359$  米,进而由(9)式可得  $L_2 = 10$  厘米;由(10)式可得  $b_2 \approx 6.0$  米。这样,就容易地算得II型腔结构的全部数据。

需要指出,从上面I、II两型的计算例子中可以看到,在取相同的  $L_1$  值和  $b$  值的情况下,  $b_1$  值均等于  $0.33$  米,也就是说,  $R_1$  镜上的基模光斑尺寸都是相同的。因而可知,I型腔与II型腔从模特性上看没有实质上的差别。

## 三

图3中示出III型基模热稳腔的图解关系。III型腔是由一凸面镜  $R_1$ , 一凹面镜  $R_2$  和一热扰透镜  $f$  (即激光棒)所组成。图中的符号与前面所述的相同。这里  $\pi$  圆与  $\sigma_1$  圆仍是相切的;  $\sigma_{1f}$  圆与  $\sigma_{2f}$  圆对于  $f$  仍互为物象关系。因而它的设计计算公式仍可由(1)、(2)、(4)、(5)、(7)、(8)、(11)、(12)式及下式组成:

$$R_2 = |d_2| + L_2. \quad (13)$$

(13)式是一个近似公式,在  $L_2 \ll L_1$  和  $\sigma_1$  圆远

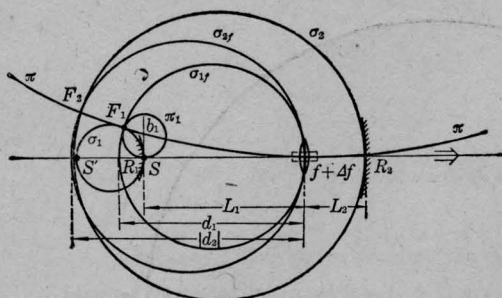


图3 III型基模热稳腔的图解关系

较 $\pi$ 圆为小的情况下,这个近似是足够好的。

设激光棒的有效孔径为 $\phi=5.05$ 毫米,取 $\lambda=1.06$ 微米,由(1)式可得 $b=6.0$ 米。取 $L_1=100$ 厘米,由(2)式可得 $s=100$ 厘米;由(11)式可得 $s'=150$ 厘米。进而由(4)式可得 $R_1=-50$ 厘米;由(5)式可得 $d_1=120$ 厘米;由(12)式可得 $b_1=0.33$ 米。若热扰透镜的平均焦距值为 $f=5$ 米,则由(8)式可得 $d_2=-158$ 厘米。又若取 $L_2=12$ 厘米,则由(13)式可得 $R_2=170$ 厘米。这样,就获得了III型腔结构的全部数据。

[2]中曾采用了类似于III型腔结构的热稳腔。我们的计算方法显然要比他们的简单得多,而且还同时考虑了自孔径选基模的要求。

#### 四

最后,介绍IV型基模热稳腔。如图4所示,这里热扰透镜 $f$ 处的 $\pi$ 圆内切于 $R_1$ 镜的 $\sigma_1$ 圆。而在前三种腔型中, $\pi$ 圆则是外切于 $\sigma_1$ 圆。 $\pi$ 圆外切于 $\sigma_1$ 圆,有利于在热透镜处(即激活介质处)获得较大的基模光斑尺寸。但在一些微型固体激光器中激活介质的孔径只有0.1毫米量级。在这种情形下,宜采用IV型腔的形式,以较小的 $\pi$ 圆内切于 $\sigma_1$ 圆的方案,有利于获得更为紧凑的基模热稳腔结构。

图4中 $R_1$ 为较小曲率半径的反射镜;微

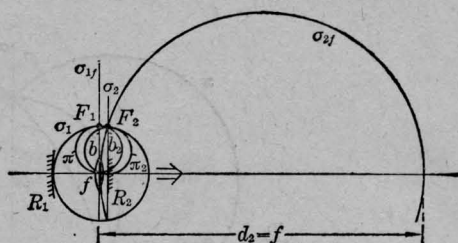


图4 IV型基模热稳腔的图解关系

型激光棒置于 $\sigma_1$ 圆的中心;该处的 $\pi$ 圆内切 $\sigma_1$ 圆的顶点 $F_1$ 。在这种情况下, $\pi$ 圆的直径:

$$b = \frac{R_1}{2}. \quad (14)$$

这时通过 $F_1$ 的 $\sigma_{1f}$ 圆的直径为无限大。因而利用(8)式可知, $\sigma_{2f}$ 圆的直径为 $d_2=f$ 。进而利用(9)、(10)两式,在 $f \gg b$ 的条件下,可得

$$L_2 = \frac{b^2}{f} \left(1 - \frac{b^2}{f^2}\right) \approx 0; \quad (15)$$

$$b_2 = b \left(1 - \frac{b^2}{f^2}\right) \approx b = \frac{R_1}{2}, \quad (16)$$

这里 $L_2$ 为 $R_2$ 镜离热扰透镜的距离; $b_2$ 为 $R_2$ 镜处 $\pi_2$ 圆的直径。 $f \gg b$ 的条件在微型激光器中总是满足的。 $L_2 \approx 0$ 表明,只要使 $R_2$ 镜紧靠微型激光棒即可。这样,只需利用(14)、(16)式和自孔径选基模的关系式(1),就可简便地对这种IV型腔进行设计计算。

这种腔的模特性主要决定于 $R_1$ 一个结构参数。若取 $R_1=2$ 厘米,则由(14)式可得 $b=1$ 厘米;由(16)式可得 $b_2 \approx 1$ 厘米。再由(1)式可知,选择棒径 $\phi=0.2$ 毫米,就恰好满足自孔径选基模的要求。

总之,利用基模热稳腔的一般解的图解关系,我们可以制定出基模热稳腔的十分简单的设计计算方法。

#### 参 考 文 献

- [1] 张光寅;《激光》,1977,4, No. 5, 41.
- [2] J. Steffen et al.; *IEEE J. Quant. Electr.*, 1972, QE-8, 239.